

若材令コンクリートのリラクセーション特性について

岐阜大学 学生員 河合 敏 学生員 平田 正成
岐阜大学 正会員 森本 博昭 正会員 小柳 治

1 まえがき コンクリート構造物の温度応力解析において 応力緩和現象を考慮した解析を行なう場合、一般にはクリープ関数を用いて応力緩和量が推定されていながら クリープ関数を用いるよりも直接的に応力緩和関数を用いて解析を行なう方が より合理的であり、より現実に近い形で解析ができるものと考えられる。そのためには 特に若材令コンクリートのリラクセーション特性を把握することが不可欠であるが コンクリートの応力緩和については 今までにわずかに数の研究しか報告されておらず レガモ これらのはほとんどが長期材令のコンクリートの短期間応力緩和試験についてのものであった。⁽¹⁾⁽²⁾ 本研究は、長期間応力緩和試験により 若材令コンクリートの圧縮ひずみの拘束下におけるリラクセーション特性について、特に載荷ひずみレベルの影響を実験的に明らかにし 合理的な温度応力の解析手法を確立するための基本資料を得ることを目的とするものである。

2 実験概要 応力緩和試験は 材令7日で実施した。供試体のひずみを規定する方法として本研究においては、強度軸に対する一定比率の応力 σ により間接的に試験時のひずみ設定を行なった。実験を実施した設定応力レベルは、0.3 軸、0.5 軸、0.8 軸の3レベルとした。コンクリートの示方配合を表-1に示す。使用したセメントは 普通ポルトランドセメントで、粗骨材は最大寸法が25mmの玄碎石、細骨材は比重2.58、F M 255のものを使用

用いた。実験に用いた供試体の寸法は $10 \times 10 \times 40\text{cm}$ の角柱形で 打設後、試験直前まで恒温室 ($20 \pm 2^\circ\text{C}$, RH 90%以上) で養生し、試験直前に供試体表面に乾燥防止用のパラフィンを塗、た後、直ちに試験を実施した。

試験方法は 図-1に示すように、大型万能試験機を使い 載荷荷重が 設定応力 σ に達すると同時に変位一定制御方式に切り換て、 σ に対する変位を一定に保って、時間とともに緩和する応力量をX-Yレコーダにより測定した。なお試験中は 図-1に示すようにエアコンを使い 温度を一定に保った。

3 実験結果と考察 各供試体の強度軸、弾性係数E 設定応力 σ および応力比 σ/σ_0 (%)を表-2に示す。また実験により得られた応力緩和曲線を図-3～4に示す。実験結果の整理には実験式⁽³⁾ $\epsilon = (B + Ct)/(A + t) - \sigma$ (A, B, C は実験定数) を用いた。式①において $t = 0$ のとき $\epsilon_0 = B/A$ は設定応力として既知であり $t = \infty$ のとき $\epsilon_\infty = C$ となり、定数Cは、終局緩和量を表すことになる。さらには $t = t_0$ のとき

$$\sigma = \sigma_0 = (\epsilon_0 + \epsilon_\infty)/2$$

$$t_0 = A$$

すなわち

表-1 示方配合

スランプ	5/2 (cm)	水セメント 比(%)	単位量 (kg/m ³)			
			C	W	S	G
2.5	44	50	346	173	793	996

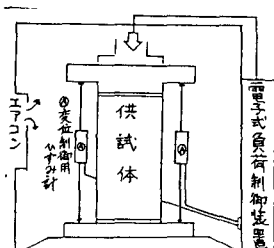


図-1 試験機の概略図

表-2 コンクリート強度及び試験条件

応力レベル	記号	軸 (kgf)	E(10^3kgf/cm^2)	σ_0 (kgf/cm^2)	σ/σ_0 (%)
30 %	3P①	270	24.6	80	29.6
	3P②	270	26.0	86	31.9
50 %	5P①	312	24.1	151	48.5
	5P②	218	22.1	102	46.8
80 %	8P①	262	21.3	202	77.1
	8P②	350	26.4	275	78.6

うち定数Aは応力緩和が進んで緩和量が終局緩和量の半分となる時間を表わす。これらの特性値A, Cおよび設定応力値を用いて式①は $\sigma = (A\sigma_0 + Ct)/(A+t)$ …②となりまた両辺をCで割ると $\frac{\sigma}{C} = (A + Ct)/(A + t)$ …③ ($C_i = C/\sigma_0$)となる。C_iは終局緩和量の設定応力に対する割合を表わす。本研究では式③における定数A、およびC_iの値を最小自乗法により決定した。3つの実験シリーズの各供試体の実験結果に対する定数AとC_iの値および各実験シリーズにおける定数AとC_iの平均値AとC_iを表-3に示す。

図-2～4から得られた緩和曲線と実測値との対応は載荷時間の初期を除いて全般的に良好であり。本研究で用いた実験式は材令初期のコンクリートのリラクセーション特性評価式として適用が可能であると考えられる。図-2～4および表-3から緩和現象に及ぼす設定応力値の影響を検討する。まず1/2緩和時間に対する定数Aに注目すると同一条件下の3つの供試体において多少のばらつきはあるが、

応力レベルごとの平均値をみると、応力レベルに影響されることはなくほぼ一定で平均11.6(h)前後の値となつている。次に終局緩和量を示す定数C_iをみると比較的ばらつきの少ない結果が得られ定数Aと同様、応力レベルに拘らずほぼ一定で平均52(%)前後の値を示し終局緩和量は設定応力にはほぼ比例した値をとることがわかる。

以上のように、応力緩和特性を表す定数AおよびC_iの値が載荷応力レベルに拘らずもA=11.6(h), C_i=52(%)とほぼ一定値をとること

から強度の少なくとも80%の応力レベルの範囲内にありては

応力緩和特性について線形則がほぼ成立するものと考えられる。

4まとめ 若材令コンクリートのリラクセーション特性について本研究の範囲内で次のような結論を得られた。

すなはち初期載荷応力が少なくとも強度の80%程度までは、応力緩和特性はほぼ式③のよう力形式の同一の評価式を用ひるニシガでさり。よって初期載荷応力に対して線形則が成立すると仮定してさしつかえないことが明らかとなった。

(参考文献)(1)西林新蔵・木山英郎:コンクリートの応力緩和に関する研究、土木学会論文集Z41号PP151～159、1975年9月

(2)Taylor M.A and G.K Mauret:Short-Term Stress Relaxation of Concrete, Magazine of Concrete Research, Vol.25, No.84 PP123～135, 1973

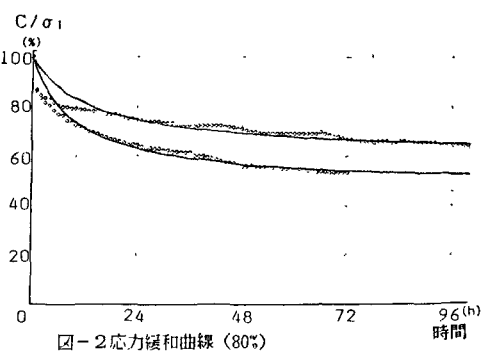


図-2応力緩和曲線(80%)

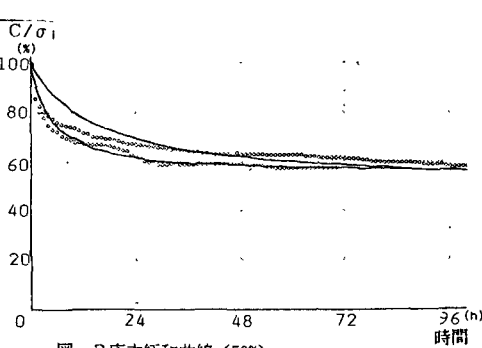


図-3応力緩和曲線(50%)

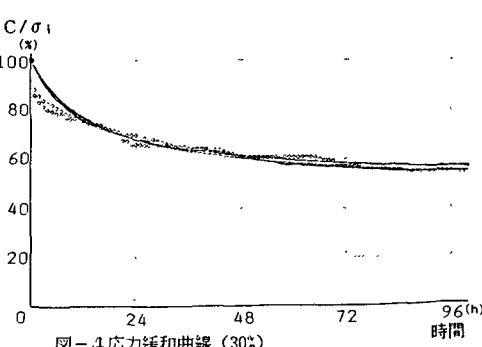


図-4応力緩和曲線(30%)

表-3実験定数A, C_i

記号	A (h)	\bar{A} (平均)	C _i (%)	\bar{C}_i (平均)
3P①	12.32	13.74	51.28	49.38
3P②	15.22		47.47	
5P①	4.48	9.84	54.26	51.88
5P②	15.20		49.50	
8P①	9.19	11.09	48.50	54.54
8P②	13.05		60.57	